

УДК 532.546

© 2004 г. П. Е. СПЕСИВЦЕВ, Э. В. ТЕОДОРОВИЧ

ТЕНЗОР ДИСПЕРСИИ СКОРОСТИ В ПЛОСКОМ ФИЛЬТРАЦИОННОМ ПОТОКЕ

Во втором приближении теории возмущений проведено вычисление продольной и поперечной составляющих тензора дисперсии скорости для случая плоского течения жидкости через случайно-неоднородную пористую среду при логнормальном распределении коэффициента проводимости.

Ключевые слова: фильтрационный поток, случайно-неоднородная пористая среда, тензор корреляции скоростей.

Цель работы – исследование пульсаций скорости, возникающих в плоском фильтрационном течении несжимаемой жидкости через случайно-неоднородную пористую среду. Знание статистических характеристик случайного поля скоростей необходимо при анализе различных явлений переноса (диффузии, теплопроводности и др.) в терминах эффективных коэффициентов переноса, которые в крупномасштабном пределе феноменологически учитывают перенос за счет не только молекулярных движений, но и за счет движений более крупных масштабов.

Рассмотрение явлений переноса в случайно-неоднородном поле скоростей составляло предмет ряда исследований (см., например, [1, 2]), однако при этом корреляционная функция скоростей задавалась извне, в результате чего оставалось неясным, какое отношение имели вычисленные коэффициенты переноса к реальным проблемам переноса в фильтрационном потоке. В частности, принималось, что случайное поле скоростей потенциально. Однако, как следует из проводимых ниже результатов, пульсационная часть скорости оказывается соленоидальной. Расчет корреляционной функции скорости в фильтрационном потоке в низшем приближении теории возмущений был проведен в [3]. В настоящей работе эта корреляционная функция рассматривается с использованием второго приближения теории возмущений, и в этом приближении вычисляется дисперсия скорости.

1. Постановка задачи. В основе описания процессов фильтрации в случайно-неоднородной среде лежит закон Дарси [4], связывающий скорость фильтрационного потока v с градиентом давления ∇p

$$v_i(\mathbf{r}) = -K(\mathbf{r})\partial_i p(\mathbf{r}) \quad (1.1)$$

при этом принимается, что коэффициент проводимости $K(\mathbf{r})$ представляет собой случайное поле с заданными статистическими характеристиками. В большинстве случаев предполагается, что статистика поля $K(\mathbf{r})$ является логнормальной, и, следовательно, все его статистические характеристики выражаются через единственную функцию – парную корреляционную функцию логарифмов проводимости.

Уравнение закона Дарси (1.1) дополняется законом сохранения массы, который в случае несжимаемой жидкости принимает вид

$$\partial_i v_i(\mathbf{r}) = 0 \quad (1.2)$$

Из (1.1), (1.2) можно получить стохастическое дифференциальное уравнение для давления

$$\partial_i [K(\mathbf{r}) \partial_i p(\mathbf{r})] = 0 \quad (1.3)$$

Уравнения (1.1)–(1.3) обычно решаются в рамках метода теории возмущений, когда проводимость представляется в виде суммы усредненной и пульсационной частей $K(\mathbf{r}) = \langle K(\mathbf{r}) \rangle + \delta K(\mathbf{r})$ (в статистически однородной системе $\langle K(\mathbf{r}) \rangle = \text{const}$) и решение ищется в виде ряда по степеням параметра $\varepsilon = \delta K(\mathbf{r}) / \langle K \rangle$, рассматриваемого как малый [4].

При больших значениях флуктуаций проводимости использование низшего приближения теории возмущений представляется недостаточным и возникает задача учета высших приближений, проблема сходимости ряда, выделения главных членов и т.п. При анализе вклада высших приближений весьма полезными оказываются методы, заимствованные из квантовой теории поля [5], в частности, метод Фейнмановских диаграмм [6–8], уравнений Дайсона [2, 6–9], улучшение теории возмущений с помощью метода ренормализационной группы [2, 1–12], а также представление решения в форме интеграла по траекториям [13].

Обычный способ рассмотрения сводится к поиску решения стохастического дифференциального уравнения для градиента давления (1.3) при заданных (детерминированных) граничных условиях на бесконечности, соответствующих постоянному среднему градиенту давления. Решение строится в виде ряда теории возмущений

$$p(\mathbf{r}) = p_0(\mathbf{r}) + \sum_{n=1}^{\infty} \varepsilon^n p_n(\mathbf{r}) \quad (1.4)$$

Подстановка (1.4) в уравнение (1.3) и приравнивание нулю коэффициентов при одинаковых степенях параметра разложения позволяет последовательно вычислять функции $p_n(\mathbf{r})$. Ряд теории возмущений для скорости фильтрационного потока с помощью закона Дарси выражается через ряд теории возмущений для градиента давления. Последующее почленное усреднение рядов дает возможность найти средние значения скорости и градиента давления и тем самым вычислить эффективную проводимость. Подобный подход получил название “простой теории возмущений” (см., например, [8]). Более аккуратное рассмотрение сводится к нахождению уравнения для некоторой бесконечной подпоследовательности ряда теории возмущений (уравнений Дайсона) и последующему его решению (“метод селективного суммирования” [6–8]).

2. Определяющие уравнения. Предметом исследования будет корреляционная функция скорости в фильтрационном течении

$$D_{ij}(\mathbf{r}) = \langle \delta v_i(\mathbf{r}) \delta v_j(0) \rangle$$

где $\delta v_i(\mathbf{r}) = v_i(\mathbf{r}) - \langle v_i(\mathbf{r}) \rangle$, индексы i, j принимают значения от 1 до d (d – размерность пространства).

В дальнейшем вместо задания граничных условий более удобным представляется рассматривать задачу в безграничной области и ввести эквивалентный граничным условиям источник жидкости, записав уравнение неразрывности в виде

$$\partial_i v_i(\mathbf{r}) = m(\mathbf{r}) \quad (2.1)$$

и определив плотность источника жидкости $m(\mathbf{r})$ таким образом, чтобы создаваемый им средний поток был равен заданной постоянной величине.

В случае, когда фильтрационный поток направлен вдоль оси x_1 , имеет скорость V и отличен от нуля в области $-L \leq x_1 \leq L$ ($L \rightarrow \infty$), плотность источника следует выбрать в виде

$$m(\mathbf{r}) = V[\delta(x_1 + L) - \delta(x_1 - L)] \quad (2.2)$$

При вычислении тензора D_{ij} вместо предварительного определения давления путем решения уравнения (1.3) и последующего нахождения скорости с помощью закона Дарси более простым является получение уравнения для скорости фильтрационного потока и его решение методом итераций при построении ряда теории возмущений. Соответствующий подход был предложен ранее одним из авторов [7, 8].

Поле вектора скорости $v_i(\mathbf{r})$ может быть представлено в виде суммы потенциальной (безвихревой) и соленоидальной (бездивергентной) составляющих

$$v_i(\mathbf{r}) = v_i^{(p)}(\mathbf{r}) + v_i^{(s)}(\mathbf{r})$$

где $\partial_i v_j^{(p)} - \partial_j v_i^{(p)} = 0$ и $\partial_i v_i^{(s)} = 0$.

Потенциальная часть скорости определяется как решение уравнения (2.1) и имеет вид

$$v_i^{(p)}(\mathbf{r}) = \partial_i \Delta^{-1} m(\mathbf{r}) \tag{2.3}$$

где $\Delta^{-1} = G(\mathbf{r})$ – функция Грина для оператора Лапласа, являющаяся решением уравнения $\Delta G(\mathbf{r}) = \delta(\mathbf{r})$.

С целью получения уравнения для вихревой части рассмотрим величину

$$\partial_j (\partial_j v_i - \partial_i v_j) \equiv \Delta v_i^{(s)} \tag{2.4}$$

С другой стороны, выражая v_i в левой части (2.4) через градиент давления с помощью закона Дарси (1.1), выполняя соответствующие дифференцирования и затем вторично воспользовавшись законом Дарси для исключения давления, найдем

$$\Delta v_i^{(s)}(\mathbf{r}) = [\delta_{ij} \partial_k u_k(\mathbf{r}) - \partial_j u_i(\mathbf{r})] v_j(\mathbf{r})$$

$$u_i = \partial_i u, \quad u = \ln(K(\mathbf{r})/K_0),$$

где K_0 – произвольный параметр с размерностью коэффициента проводимости.

В результате получаем интегральное уравнение для скорости

$$v_i(\mathbf{r}) = v_i^{(p)}(\mathbf{r}) + \int d\mathbf{r}' G(\mathbf{r} - \mathbf{r}') [\delta_{ij} \partial'_\alpha u_\alpha(\mathbf{r}') - \partial'_j u_i(\mathbf{r}')] v_j(\mathbf{r}') \tag{2.5}$$

итерационное решение которого воспроизводит ряд теории возмущений в виде разложения по степеням логарифма проводимости $u(\mathbf{r})$, при этом роль нулевого приближения играет потенциальная часть скорости, определяемая формулой (2.3).

Для дальнейшего анализа удобно записать уравнение (2.5) в форме, соответствующей формализму Мартина-Сиджии-Роуза [7, 8]

$$v_i(\mathbf{r}) = v_i^{(p)}(\mathbf{r}) - \int d\mathbf{r}_1 d\mathbf{r}_2 d\mathbf{r}_3 G(\mathbf{r} - \mathbf{r}_1) \Gamma_{ij}(\mathbf{r}_1 | \mathbf{r}_2, \mathbf{r}_3) u(\mathbf{r}_2) v_j(\mathbf{r}_3) \tag{2.6}$$

где тензорная величина Γ_{ij} (называемая вершиной) определена соотношением

$$\Gamma_{ij}(\mathbf{r}_1 | \mathbf{r}_2, \mathbf{r}_3) = [(\partial^{(2)} \cdot \partial^{(1)}) \delta_{ij} - \partial_i^{(2)} \partial_j^{(1)}] \delta(\mathbf{r}_1 - \mathbf{r}_2) \delta(\mathbf{r}_1 - \mathbf{r}_3)$$

(индекс в скобках у операторов дифференцирования указывает, по какой величине оно выполняется).

В пространстве Фурье-образов это уравнение принимает вид

$$v_i(\mathbf{q}) = v_i^{(p)}(\mathbf{q}) - G(\mathbf{q}) \int \frac{d\mathbf{p}}{(2\pi)^d} \Gamma_{ij}(\mathbf{q} | \mathbf{p}, \mathbf{q} - \mathbf{p}) u(\mathbf{p}) v_j(\mathbf{q} - \mathbf{p}) \tag{2.7}$$

$$G(\mathbf{q}) = -1/q^2, \quad \Gamma_{ij}(\mathbf{q} | \mathbf{p}, \mathbf{q} - \mathbf{p}) = (\mathbf{p}\mathbf{q}) \delta_{ij} - p_i q_j$$

(в дальнейшем функция и ее Фурье-образ обозначаются одной и той же буквой и различаются только значениями своих аргументов). Вершина $\Gamma_{ij}(\mathbf{q}|\mathbf{p}, \mathbf{q} - \mathbf{p})$ обладает следующими легко проверяемыми свойствами

$$q_i \Gamma_{ij}(\mathbf{q}|\mathbf{p}, \mathbf{q} - \mathbf{p}) = 0, \quad P_{ik}(\mathbf{q}) \Gamma_{kj}(\mathbf{q}|\mathbf{p}, \mathbf{q} - \mathbf{p}) = \Gamma_{ij}(\mathbf{q}|\mathbf{p}, \mathbf{q} - \mathbf{p})$$

$$\Gamma_{ij}(\mathbf{q}|\mathbf{p}, \mathbf{q} - \mathbf{p}) p_j = 0$$

где $P_{ij}(\mathbf{q}) = \delta_{ij} - q_i q_j / q^2$ – оператор поперечного проектирования, подчиняющийся соотношениям: $P_{ik} P_{kj} = P_{ij}$, $P_{ij} v_j^{(p)} = 0$, $P_{ij} v_j^{(s)} = v_i^{(s)}$.

Многочисленные итерирование уравнения (2.7) приводит к представлению решения в виде

$$v_i(\mathbf{q}) = v_i^{(p)}(\mathbf{q}) + P_{ij}(\mathbf{q}) \int \frac{d\mathbf{p}}{(2\pi)^d} R(\mathbf{q}, \mathbf{p} | u(\mathbf{p}_n)) v_j^{(p)}(\mathbf{q} - \mathbf{p}) \quad (2.8)$$

где резольвентное ядро R является функционалом от случайного поля $u(\mathbf{p}_n)$. Для вычисления средней скорости $\langle v_i(\mathbf{q}) \rangle$ следует выполнить усреднение (2.8) по ансамблю реализаций логарифма проводимости. В случае логнормальной статистики моменты вида $\langle u(\mathbf{p}_1) \dots u(\mathbf{p}_n) \rangle$ будут равны нулю для моментов нечетного порядка и сумме произведений всевозможных попарных средних, если n четно (теорема Вика). Для статистически однородной среды парное среднее имеет вид

$$\langle u(\mathbf{p}) u(\mathbf{p}_1) \rangle = (2\pi)^d \delta(\mathbf{p} + \mathbf{p}_1) B(p) + \langle u(\mathbf{p}) \rangle \langle u(\mathbf{p}_1) \rangle \quad (2.9)$$

Если принять $\langle u \rangle = 0$, то этому будет соответствовать выбор $K_0 = K_G$, где K_G – среднее геометрическое значение коэффициента проводимости.

Используя (2.9), можно проверить, что

$$\langle R(\mathbf{q}, \mathbf{p} | u(\mathbf{p}_n)) \rangle = (2\pi)^d \delta(\mathbf{p}) R(q)$$

Учитывая свойство поляризованного оператора $P_{ij}(\mathbf{q}) v_j^{(p)}(\mathbf{q}) = 0$, найдем

$$\langle v_i(\mathbf{q}) \rangle = v_i^{(p)}(\mathbf{q}), \quad \delta v_i(\mathbf{q}) = v_i^{(s)}(\mathbf{q}) \quad (2.10)$$

Для сокращения формы записи сложных выражений и упрощения анализа высших приближений воспользуемся Фейнмановским диаграммным методом, заключающемся в сопоставлении аналитическим выражениям некоторых графических символов (диаграмм Фейнмана).

Введем правила соответствия между диаграммами и аналитическими выражениями (см. таблицу).

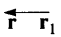
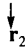
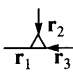

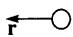
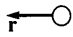
1. Функции Грина $G(\mathbf{r} - \mathbf{r}_1)$, называемой пропагатором, сопоставляется тонкая горизонтальная линия, выходящая из точки \mathbf{r}_1 и входящая в точку \mathbf{r} .

2. Функции $u(\mathbf{r}_2)$ – направленная в точку \mathbf{r}_2 вертикальная линия.

3. Функции $\Gamma_{ij}(\mathbf{r}_1 | \mathbf{r}_2, \mathbf{r}_3)$ – треугольник, в правую вершину которого \mathbf{r}_3 входит, а из левой \mathbf{r}_1 выходит горизонтальная линия, соответствующая функциям Грина G . В среднюю вершину \mathbf{r}_2 входит вертикальная линия, отвечающая $u(\mathbf{r}_2)$.

4. Парной корреляционной функции $B(\mathbf{r}_2 - \mathbf{r}_2')$, называемой коррелятором – линия, концы которой входят вертикально в средние вершины треугольников \mathbf{r}_2 и \mathbf{r}_2' .

5. Потенциальной составляющей скорости $v_i^{(p)}(\mathbf{r})$ – тонкая горизонтальная линия, выходящая из светлого кружка и входящая в точку \mathbf{r} .

№	Диаграмма	Функция
1.		$G(\mathbf{r} - \mathbf{r}_1)$
2.		$u(\mathbf{r}_2)$
3.		$\Gamma_{ij}(\mathbf{r}_1 \mathbf{r}_2, \mathbf{r}_3)$
4.		$B(\mathbf{r}_2 - \mathbf{r}'_2)$
5.		$v_i^{(p)}(\mathbf{r})$
6.		$v_i(\mathbf{r})$

6. Полной скорости $v_i(\mathbf{r})$ – жирная горизонтальная линия, исходящая из светлого кружка и входящая в точку \mathbf{r} .

При этом подразумевается, что по координатам точек, соответствующим вершинам треугольника, выполняется интегрирование по всему пространству.

При переходе в пространство Фурье-образов (пространство волновых чисел) вид диаграмм не меняется, но при этом линиям пропагаторов и корреляторов приписываются волновые числа и этим величинам ставятся в соответствие их Фурье-образы $G(\mathbf{q})$ и $B(\mathbf{p})$, а треугольнику сопоставляется $\Gamma_{ij}(\mathbf{q}|\mathbf{p}, \mathbf{q} - \mathbf{p})$.

Подразумевается, что по волновым числам всех линий, соединяющим вершины треугольников, осуществляется интегрирование, при этом выполняется закон сохранения волновых чисел: алгебраическая сумма волновых чисел входящих в вершину и выходящих из нее линий равна нулю.

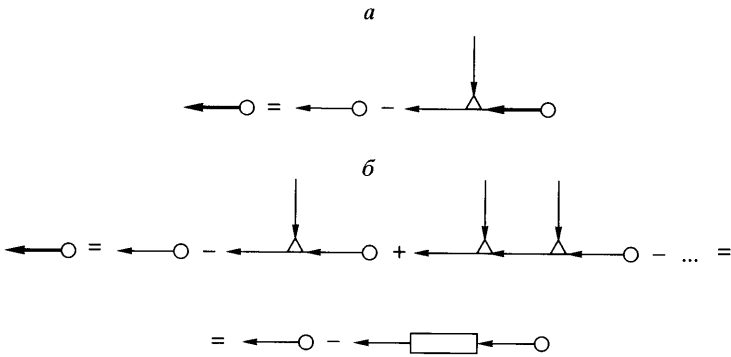
На языке диаграммной техники уравнения (2.6), (2.7) изображены на фиг. 1, а, итерационное решение этих уравнений представлено на фиг. 1, б, где последнему диаграммному равенству соответствует уравнение (2.8). Для вычисления интересующей корреляционной функции скорости следует перемножить диаграммные ряды для скорости, а затем выполнить усреднение по логарифму проницаемости, которое сводится к соединению входящих в средние вершины треугольников линиями корреляторов. С точностью до членов четвертого порядка теории возмущений (диаграммы содержат 4 треугольника) для корреляционной функции получим диаграммное представление на фиг. 2. При этом соответствующие диаграммам (4), (7) выражения оказываются равными нулю на основании аргументов, приводящих к (2.10).

3. Тензор корреляции скоростей. Проведение вычислений с использованием диаграммной техники удобно проводить в пространстве Фурье-образов. Знание Фурье-образа тензора корреляции скоростей $D_{ij}(\mathbf{q})$ позволяет найти этот тензор в конфигурационном пространстве

$$D_{ij}(\mathbf{r}) = \int \frac{d\mathbf{q}}{(2\pi)^d} D_{ij}(\mathbf{q}) e^{i\mathbf{q}\mathbf{r}}$$

а также вычислить тензор дисперсии скоростей

$$T_{ij} = \langle \delta v_i(\mathbf{r}) \delta v_j(\mathbf{r}) \rangle = D_{ij}(0) = \int \frac{d\mathbf{q}}{(2\pi)^d} D_{ij}(\mathbf{q})$$



Фиг. 1. Диаграммное уравнение (а) соответствует уравнениям (2.6), (2.7); диаграммное представление (б) – итерационному решению уравнения (2.7) и формуле (2.8)

Из условия изотропии системы следует $T_{ij} = T_{(i)}\delta_{ij}$, где $T_{(i)} = T_l$, если $i = 1$ и $T_{(i)} = T_t$, если $i \neq 1$, T_l и T_t соответствуют дисперсии продольной и поперечной компонент скорости по отношению к направлению фильтрационного потока.

В низшем приближении теории возмущений (фиг. 2, диаграмма 1) соответствующий расчет тензора корреляции скоростей дает

$$D_{ij}^{(1)}(\mathbf{q}) = V^2 B(q) P_{i1}(\mathbf{q}) P_{j1}(\mathbf{q}) \tag{3.1}$$

при этом было использовано следующее из (2.2), (2.3) и формулы

$$\lim_{L \rightarrow \infty} \frac{\sin q_1 L}{q_1} = \pi \delta(q_1)$$

соотношение

$$v_i^{(p)}(\mathbf{q}) = V(2\pi)^d \delta(\mathbf{q}) \delta_{i1}$$

Результат (3.1) получен с учетом того, что волновые числа входящих в правые вершины горизонтальных линий на диаграммах равны нулю, а также при использовании легко проверяемого тождества

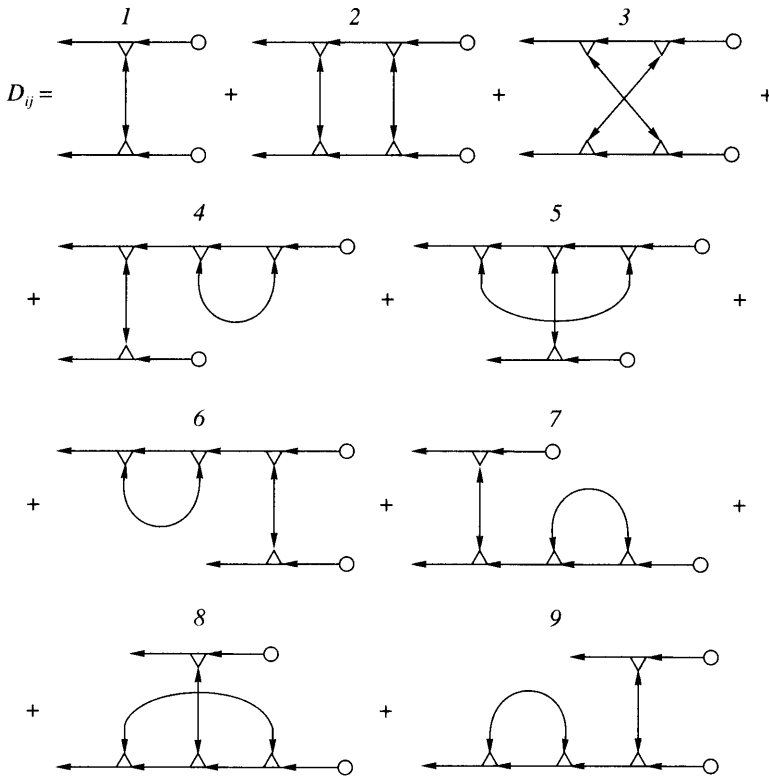
$$\Gamma_{ij}(\mathbf{q}|\mathbf{q}, 0) = q^2 P_{ij}(\mathbf{q})$$

Формула (3.1) с точностью до множителя совпадает с результатом, полученным в [3, формула (28а)] в рамках “простой теории возмущений”. Наличие дополнительного множителя связано с использованием разложения коэффициента проницаемости среды в ряд по степеням логарифма коэффициента проницаемости. В предлагаемом подходе нет необходимости использования подобного разложения.

Из (3.1) вытекают значения для дисперсии скорости

$$T_l^{(1)} = \frac{d^2 - 1}{d(d + 2)} V^2 \sigma^2, \quad T_t^{(1)} = \frac{1}{d(d + 2)} V^2 \sigma^2$$

где σ^2 – дисперсия логарифма проводимости ($\sigma^2 = B(0)$).



Фиг. 2. Диаграммное представление для парной корреляционной функции скоростей с точностью до второго порядка теории возмущений: 1 – первое приближение теории возмущений, 2–9 – второе приближение

В следующем приближении теории возмущений необходимо учитывать вклад диаграмм 2–9 на фиг. 2. Как уже упоминалось, вклад диаграмм 4, 7 оказывается равным нулю, а вклады диаграмм 5, 6 и 8, 9 попарно равны.

В дальнейшем ограничимся вычислением только продольной и поперечной компонент тензора дисперсии скорости для частного случая $B(q) = B_0 \exp\{-mq^2\}$ (B_0 и m связаны с дисперсией логарифма проводимости среды соотношением $\sigma^2 = B_0/(4\pi m)^{d/2}$).

В связи с тем, что вклады различных диаграмм частично сокращаются, приведем результаты вычислений для некоторых совокупностей диаграмм.

Используя правила диаграммной техники для вклада диаграмм 2, 3 фиг. 2, найдем

$$D_{ij}^{(2)}(\mathbf{q}) + D_{ij}^{(3)}(\mathbf{q}) = \frac{V^2}{4} \int \frac{d\mathbf{p}}{(2\pi)^{d/2}} \Gamma_{ik}(\mathbf{q}|\mathbf{q}-\mathbf{p}, \mathbf{p}) P_{k1}(\mathbf{p}) B(\mathbf{p}) B(\mathbf{q}-\mathbf{p}) \times$$

$$\times [\Gamma_{jm}(\mathbf{q}|\mathbf{q}-\mathbf{p}, \mathbf{p}) P_{m1}(\mathbf{p}) + \Gamma_{jm}(\mathbf{q}|\mathbf{p}, \mathbf{q}-\mathbf{p}) P_{m1}(\mathbf{q}-\mathbf{p})]$$
(3.2)

При вычислении (3.2) удобно упростить это выражение с помощью соотношений

$$\Gamma_{ik}(\mathbf{q}|\mathbf{p}, \mathbf{q}-\mathbf{p}) = q^2 P_{ik}(\mathbf{q}) - \Gamma_{ik}(\mathbf{q}|\mathbf{p}, \mathbf{q}-\mathbf{p}), \quad \Gamma_{ik}(\mathbf{q}|\mathbf{p}, 0) = q^2 P_{ik}(\mathbf{q})$$

и при выполнении интегрирований воспользоваться формулой, называемой представлением Швингера

$$\frac{1}{(q^2)^n} = \frac{1}{\Gamma(n)} \int_0^\infty \alpha^{n-1} e^{-\alpha q^2} d\alpha$$

Результат вычислений продольной и поперечной компонент тензора дисперсии дает

$$T_l^{(2)} + T_l^{(3)} = \frac{d-1}{d(d+2)} \left[2 \frac{d^2-1}{d} - A \right] V^2 \sigma^4$$

$$T_t^{(2)} + T_t^{(3)} = \frac{1}{2d(d+2)} \left[-\frac{d}{4} + A \right] V^2 \sigma^4$$

$$A = (d^2 + d - 2) \beta\left(\frac{d}{2}\right), \quad \beta(n) = \int_0^1 t^{n-1} (1+t)^{-1} dt$$

Вклад остальных диаграмм определяется соотношением

$$\begin{aligned} D_{ij}^{(5)}(\mathbf{q}) + D_{ij}^{(6)}(\mathbf{q}) &= D_{ij}^{(8)}(\mathbf{q}) + D_{ij}^{(9)}(\mathbf{q}) = \\ &= \frac{V^2}{q^4} P_{j1}(\mathbf{q}) B(\mathbf{q}) \int \frac{d\mathbf{p}}{(2\pi)^d} \Gamma_{ik}(\mathbf{q}|\mathbf{p}, \mathbf{q}-\mathbf{p}) \frac{B(\mathbf{p})}{(\mathbf{p}-\mathbf{q})^2} \times \\ &\times [\Gamma_{kn}(\mathbf{q}-\mathbf{p}|\mathbf{q}, -\mathbf{p}) P_{n1}(\mathbf{p}) + \Gamma_{kn}(\mathbf{q}-\mathbf{p}|-\mathbf{p}, \mathbf{q}) P_{n1}(\mathbf{q})] \end{aligned}$$

Расчет компонент тензора дисперсии дает

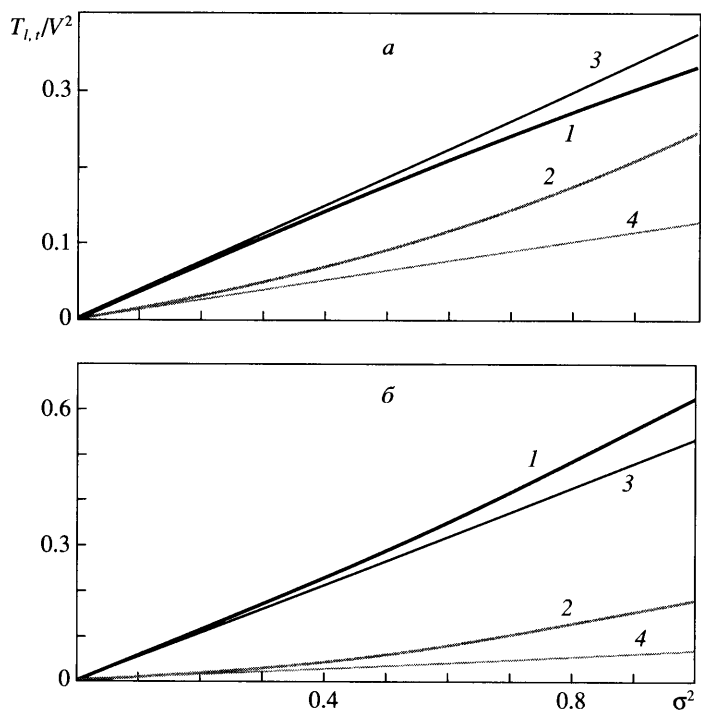
$$T_l^{(5)} + T_l^{(6)} = \frac{d^2-1}{2d(d+2)} \left[\frac{1}{d} - \beta\left(\frac{d}{2}\right) \right] V^2 \sigma^2$$

$$T_t^{(5)} + T_t^{(6)} = \frac{1}{d^2-1} [T_l^{(5)} + T_l^{(6)}]$$

В результате во втором приближении теории возмущений получим

$$\begin{aligned} T_l &= \frac{d^2-1}{d(d+2)} V^2 \left\{ \sigma^2 + \left[\frac{2d-1}{d} - \frac{d^2+2d-1}{d+1} \beta\left(\frac{d}{2}\right) \right] \sigma^4 \right\} \\ T_t &= \frac{1}{d(d+2)} V^2 \left\{ \sigma^2 + \left[\frac{8-d^2}{8d} + \frac{d^2+d-4}{2} \beta\left(\frac{d}{2}\right) \right] \sigma^4 \right\} \end{aligned} \tag{3.3}$$

Результаты численных расчетов по формулам (3.3) приведены на фиг. 3. Из этой фигуры следует, что в случае продольной компоненты тензора дисперсии поправки второго приближения оказываются малыми, тогда как для поперечных компонент эти поправки могут оказаться существенными уже в случае $\sigma^2 \sim 1$. Полезно также обратить внимание на то, что тензор дисперсии не зависит от параметра m , связанного с корреляционной длиной L соотношением $m \sim L^2$. Отсюда следует, что выбор формы корреляционной функции логарифма проводимости в форме экспоненты не уменьшает общности выполненного рассмотрения, поскольку в произвольном случае кор-



Фиг. 3. Продольная (кривые 1) и поперечная (кривые 2) составляющие тензора дисперсии скоростей как функции дисперсии логарифма проводимости среды при размерностях пространства $d = 2$ (а) и $d = 3$ (б); тонкие кривые 3, 4 соответствуют низшему приближению теории возмущений

реляционная функция может быть записана в виде $B(q) = \int_0^\infty dm g(m) \{-mq^2\}$ и при вычисле-

нии тензора дисперсии скорости останутся выражения типа $\int_0^\infty dm g(m) (4\pi m)^{-d/2} =$

$= B(r)/r = \sigma^2$.

Заключение. В реальных пористых средах разброс проводимости отдельных макроучастков оказывается значительным, в связи с чем величина σ^2 будет большой. Полученные результаты показывают, что при рассмотрении статистических характеристик случайного поля скоростей в фильтрационном потоке учет высших приближений теории возмущений может существенно повлиять на результаты расчета явлений переноса в случайно-неоднородной среде при наличии течений.

СПИСОК ЛИТЕРАТУРЫ

1. *Phythian R., Curtis W.D.* The effective long-time diffusivity for a passive scalar in a Gaussian model fluid flow // *J. Fluid Mech.* 1978. V. 89. Pt. 2. P. 241.
2. *Dean D.S., Drummond I.T., Horgan R.R.* Perturbation schemes for flow in random media // *J. Phys. A: Math. Gen.* 1994. V. 27. № 15. P. 5135–5144.
3. *Gelhar L.W., Axness C.L.* Three-dimensional stochastic analysis of macrodispersion in aquifers // *Water Resour. Res.* 1983. V. 19. № 1. P. 161.

4. Швидлер М.И. Статистическая гидродинамика пористых сред. М.: Недра, 1985. 288 с.
5. King P.R. The use of field theoretic methods for the study of flow in a heterogeneous porous medium // J.Phys. A: Math. Gen. 1987. V. 2. № 12. P. 3935–3947.
6. Hristopulos D.T., Christakos G. Diagrammatic theory of effective hydraulic conductivity // Stochastic Hydrol. Hydraul. 1997. V. 11. № 5. P. 369–395.
7. Теодорович Э.В. Метод улучшенной теории возмущений при описании эффективной проницаемости случайно-неоднородной среды // ПММ. 2002. Т. 66. Вып. 3. С. 448–456.
8. Stepanyants Y.A., Teodorovich E.V. Effective hydraulic conductivity of a randomly heterogeneous porous medium // Water Resour. Res. V. 39. № 3. P. 1065–1075.
9. Noetinger B. The effective permeability of a heterogeneous porous medium // Transp. Porous Media. 1994. V. 15. P. 99–127.
10. Jaekel U., Vereecken H. Renormalization group analysis of macrodispersion in a directed random flow // Water Resour. Res. 1997. V. 33. № 10. P. 2287–2299.
11. Hristopulos D.T., Christakos G. Renormalization group analysis of permeability upscaling // Stochastic Environmental Res. and Risk Assessment. 1999. V. 13. № 1/2. P. 131–160.
12. Теодорович Э.В. Метод ренормализационной группы в задаче об эффективной проводимости случайно-неоднородной пористой среды // ЖЭТФ. 2002. Т. 122. № 1. С. 79–89.
13. Теодорович Э.В. К вычислению эффективной проницаемости случайно-неоднородной пористой среды // ЖЭТФ. 1997. Т. 112. № 1(7). С. 313–324.

Москва
E-mail: teodor@ipmnet.ru

Поступила в редакцию
16.X.2003